

Comparison of Survival and Developmental rates of Mouse Ovarian Follicles after Two and Three Dimensional Cultures

Shabnam Abdi¹, Mojdeh Salehnia^{2*}, Saman Hosseinkhani³

1- Ph.D. Candidate, Department of Anatomy, Faculty of Medical Sciences, Tarbiat Modares University, Tehran, Iran

2- Professor, Department of Anatomy, Faculty of Medical Sciences, Tarbiat Modares University, Tehran, Iran

3- Associated Professor, Department of Biotechnology, Faculty of Biological Sciences, Tarbiat Modares University, Tehran, Iran

*Corresponding Address: P.O.Code: 1411713116, Department of Anatomy, Faculty of Medical Sciences, Tarbiat Modares University, Tehran, Iran
Email: salehnim@modares.ac.ir

Received: 28/Apr/2013, Accepted: 12/Jul/2013

Abstract

Objective: In vitro ovarian follicle culture provides a tool to investigate folliculogenesis and may be used as an assisted reproductive technology (ART). This study aims to compare survival and development rates in mouse ovarian follicles after two and three dimensional in vitro cultures.

Methods: Preantral follicles were isolated from the ovaries of 14-day old female mice and cultured in α-MEM medium supplemented with 5% FBS for 12 days in a two dimensional and three dimensional culture with different concentrations of sodium alginate (0.25%, 0.5%, or 1%). The follicle diameter, survival and maturation rate during culture were analyzed and compared with one-way analysis of variance (ANOVA). P<0.05 was considered as statistically significant.

Results: The mean diameter of preantral follicles that capsulated with 0.5% alginate was significantly higher than other concentrations in each group on days 6 and 12 (P<0.001). The percentages of follicles which released metaphase II (MII) oocytes in the two dimensional groups and in the three dimensional groups at 0.25%, 0.5% and 1% concentrations of sodium alginate were 29.03%, 33.33%, 44.18% and 35.89% respectively. The percentage of MII oocytes was significantly higher at the 0.5% concentration of sodium alginate (P<0.001).

Conclusion: Follicles encapsulated in 0.5% sodium alginate in three dimensional culture displayed the highest survival development and maturation rate.

Keywords: Follicle, Three dimensional, Alginate

Modares Journal of Medical Sciences: *Pathobiology*, Vol 16, No 2, Summer 2013, Pages: 51-63

مقایسه میزان بقا و تکوین فولیکول‌های تخدمان موش پس از کشت دو بعدی و سه بعدی

شبنم عبدی^۱، مژده صالح نیا^{۲*}، سامان حسینخانی^۳

۱- دانشجوی دکتری تخصصی، گروه علوم تشریح، دانشکده علوم پزشکی، دانشگاه تربیت مدرس، تهران، ایران

۲- استاد، گروه علوم تشریح، دانشکده علوم پزشکی، دانشگاه تربیت مدرس، تهران، ایران

۳- دانشیار، گروه بیوشیمی، دانشکده علوم زیستی، دانشگاه تربیت مدرس، تهران، ایران

*آدرس نویسنده مسئول: ایران، تهران، کدپستی: ۱۴۱۱۷۱۳۱۶، دانشگاه علوم پزشکی، گروه علوم تشریح
Email: salehni@modares.ac.ir

پذیرش مقاله: ۹۲/۰۴/۲۲

دریافت مقاله: ۹۲/۰۲/۰۹

چکیده

هدف: کشت فولیکول‌های تخدمان در شرایط آزمایشگاهی روشی را برای بررسی فولیکولوزن فراهم می‌کند و ممکن است در روش‌های کمک بااروری استفاده شود. هدف از این مطالعه مقایسه میزان بقا و تکوین در فولیکول‌های تخدمان موش پس از کشت سه بعدی و دو بعدی در شرایط آزمایشگاهی بود.

مواد و روش‌ها: فولیکول‌های پره آنترال از تخدمان‌های موش ماده ۱۴ روزه جدا شدند و در محیط کشت α-MEM حاوی ۵ درصد سرم جنین گاوی به مدت ۱۲ روز به روش دو بعدی و سه بعدی با غلاظت‌های مختلف سدیم آثینیت (۰/۰۵، ۰/۰۱ و ۱ درصد) کشت قطر فولیکول‌ها، میزان بقا و بلوغ با آزمون آنالیز واریانس یک طرفه تجزیه و تحلیل و مقایسه و $P < 0/05$ به عنوان سطح معنی‌داری در نظر گرفته شد.

نتایج: میانگین قطر فولیکول‌هایی که با غلاظت ۰/۰۵ درصد سدیم آثینیت کپسوله شده بودند، در روز ششم و دوازدهم به طور معنی‌دار بیشتر از بقیه گروه‌ها بود ($P < 0/001$). درصد تشکیل تخمک متافاز دو در گروه کشت دو بعدی و در غلاظت‌های ۰/۰۵، ۰/۰۱ و ۱ درصد سدیم آثینیت در کشت سه بعدی به ترتیب ۰/۳، ۰/۲۹، ۰/۳۳ و ۰/۴۴ درصد بود. درصد تخدمک‌های متافاز دوم در فولیکول‌های کشت شده در غلاظت ۰/۰۵ درصد سدیم آثینیت بالاتر بود ($P < 0/001$). نتیجه‌گیری: فولیکول‌های کپسوله شده با غلاظت ۰/۰۵ درصد سدیم آثینیت در کشت سه بعدی بالاترین میزان بقا، تکوین و بلوغ را نشان دادند.

کلیدواژگان: فولیکول، سه بعدی، آثینیت

مجله علوم پزشکی مدرس: آسیب‌شناسی زیستی، دوره ۱۶، شماره ۲، تابستان ۱۳۹۲، صفحات: ۵۱-۶۳

مقدمه

امروزه رشد و تکوین فولیکول‌های جدا شده از تخدمان علاوه بر این؛ کشت فولیکول‌ها در شرایط آزمایشگاهی برای مطالعه فرآیند تکوین فولیکول‌ها، مکانیسم فولیکولوزن

امروزه رشد و تکوین فولیکول‌های جدا شده از تخدمان و بلوغ تخمک‌ها در شرایط آزمایشگاهی یکی از روش‌های جدید است که در تکنولوژی کمکی تولید مثل (Assisted

باقی فولیکول در کشت دو بعدی و سه بعدی

تخمدان در گونه‌های مختلف صورت گفته است و تولد زنده پس از کشت دو بعدی فولیکول پره آنترال (Preantral Follicle) موش در شرایط آزمایشگاهی گزارش شده است [۱۳-۱۵]، با این وجود درصد موفقیت آن پایین است. به همین دلیل در سال‌های اخیر محققین تلاش خود را در راستای افزایش نرخ تکوین فولیکول‌ها در سیستم‌های کشت سه بعدی متوجه کردند.

در سیستم کشت سه بعدی (کروی) که اولین بار توسط اوزبرن و نیودو (Osborn & Nayudu) ارایه شد [۱۶]، ساختار کروی و ارتباط فیزیولوژیکی درون فولیکول‌ها به خوبی حفظ می‌شود. علاوه بر این؛ عوامل اتوکرین و پاراکرینی ترشح شده از سلول‌های گرانولوزا در نزدیکی تخکم باقی می‌ماند و باعث تأثیرگذاری بیشتر این عوامل بر تکوین فولیکول‌ها می‌شود. سیستم‌های کشت سه بعدی به گونه‌ای طراحی شده است که از مهاجرت سلول‌های گرانولوزای اطراف تخکم و چسبیدن این سلول‌ها به کف ظرف کشت جلوگیری شود. به همین منظور بعضی محققین از روش‌های مختلفی مانند جابه‌جایی روزانه فولیکول‌ها، لوله‌های چرخان، قطره آویزان و کپسوله کردن با هیدروژل (Hydrogel) استفاده می‌کنند. در روش کپسوله کردن فولیکول‌ها در ماتریکس سه بعدی مشابه محیط تخدمان قرار می‌گیرند [۱۷-۱۹]. اما یکی از چالش‌های مهم در کپسوله کردن فولیکول‌های تخدمان انتخاب مواد زیستی مناسب است.

یکی از هیدروژل‌هایی که به‌طور وسیعی در مهندسی بافتی کاربرد دارد آلژینیت (Alginate) است. آلژینیت نوعی پلیمری طبیعی است که توسط جلبک قهوه‌ای تولید می‌شود و از پلیمرهای اسید گلوكورونیک (a-L-Guluronic acid) و اسید مانورونیک (b-D-Mannuronic acid) تشکیل شده است و پس از پیوند در حضور کلسیم، هیدروژل آلژینیت را بدون نیاز به مواد شیمیایی، نور یا دما تشکیل می‌دهد [۲۰-۲۲]. مطالعات مختلف نشان داده است که کشت فولیکول پره آنترال با هیدروژل آلژینیت می‌تواند تخکم‌هایی با قابلیت لقاچ تولید

(Folliculogenesis) و بررسی آثار سمی ترکیبات و داروها روی رشد فولیکول‌ها کاربرد دارد.

سیستم‌های کشت مختلفی با توجه به اندازه فولیکول‌های جدا شده از تخدمان و براساس اهداف مطالعه معرفی شده است تا بتوانند درجات مختلفی از تکوین فولیکول و سلول‌های سوماتیک (Somatic Cells) همراه آن را حفظ کرده و رشد دهنده [۳-۵]. به‌طور کلی بر حسب ریخت‌شناسی (Morphology) کشت، روش‌های کشت فولیکول‌های جدا شده را می‌توان به صورت زیر تقسیم کرد: سیستم کشت دو بعدی (غیر کروی)، در این سیستم ساختمان کروی فولیکول‌ها حفظ نمی‌شود و فولیکول‌ها به کف ظرف کشت می‌چسبند و ساختار پشتی‌ای تشکیل می‌دهند و دیگری سیستم کشت سه بعدی (کروی) که در این سیستم کشت ساختار کروی فولیکول حفظ می‌شود [۶-۸].

فولیکولوژنیز در تخدمان شامل فرآیندهای تکوینی است که توسط عوامل اندوکرینی (Endocrine)، پاراکرینی (Paracrine) و اتوکرینی (Autocrine) و ارتباطات بین سلول با سلول یا سلول با ماتریکس تنظیم و حفظ می‌شود [۹-۱۰]. محققین مختلفی به بررسی سیستم کشت دو بعدی فولیکول‌ها پرداخته‌اند [۱۱، ۱۲]. هدف از سیستم کشت دو بعدی حمایت از رشد تخکم است، به‌طوری که دریافت مواد مغذی، هورمون‌ها و گازها در این ساختار به آسانی صورت می‌گیرد به همین دلیل میزان حیات تخکم افزایش می‌یابد. اما در سیستم کشت دو بعدی سلول‌های گرانولوزا (Granulosa Cells) غشای پایه خود را پاره می‌کنند و از تخکم فاصله می‌گیرند، در نتیجه اتصالات بین سلول با سلول و سلول با ماتریکس از بین می‌رود و در تبادل مواد متابولیکی اختلال ایجاد می‌شود و منجر به رشد و تمایز نامهنهنگ سلول‌های گرانولوزا و تخکم می‌شود. علاوه بر این؛ کشت دو بعدی برای فولیکول‌های تخدمان گونه‌های بزرگ‌تر مانند گاو و انسان نامناسب است و مانع از تکوین فولیکول می‌شود، زیرا حفظ ارتباط بین تخکم و سلول‌های فولیکولی در این شرایط مشکل و سخت است. تاکنون مطالعات متعددی در زمینه کشت دو بعدی فولیکول‌های

(α -Minimal Essential Medium، Gibco) حاوی ۵ درصد سرم جنین گاوی (Fetal Bovine Serum: FBS) (آمریکا). (Gibco، آمریکا) قرار داده شد. به کمک سوزن سرنگ انسولین بافت‌های اضافی اطراف تخمدان برداشته شد و تخمدان‌ها پس از شستشو در محیط کشت تا زمان جداسازی فولیکول‌ها در انکوباتور نگهداری و در زمان‌های مختلف بررسی شدند.

جداسازی فولیکول‌های پره آنترال

در این تحقیق برای جداسازی فولیکول‌ها از روش مکانیکی که ساختمان فولیکول‌ها دست نخورده باقی می‌ماند استفاده شد. با کمک نوک سوزن ۲۹G متصل به سرنگ انسولین ۱ میلی‌لیتری در زیر بزرگنمایی ۲۵ استریومیکروسکوپ (Olympus، ژاپن) عمل جداسازی فولیکول‌ها انجام گرفت. پس از جداسازی، فولیکول‌هایی که دارای تخمک مرکزی با ۳-۲ لایه سلول گرانولوزا و سلول‌های تکا (Theca Cells) در اطراف با قطر ۱۵۰ میکرومتر انتخاب شدند. فولیکول‌های جدا شده پس از شستشو در محیط کشت برای کپسوله کردن با ژل هیدروژل سدیم آژینیت با غلظت‌های ۰/۲۵، ۰/۰۵ و ۰/۰۵ درصد و کشت دو بعدی آماده شدند.

کشت سه بعدی فولیکول پره آنترال

برای آماده‌سازی هیدروژل آژینیت در ابتدا سدیم آژینیت PBS، آمریکا) با غلظت ۰/۰۵ و ۰/۰۵ درصد با Sigma (Phosphate Buffer Saline) ترکیب شد و سپس برای از بین بردن ناخالصی‌های آژینیت با ۰/۵ گرم زغال فعلّ شده به ازای هر گرم از پودر سدیم آژینیت مخلوط شد و پس از فیلتر شدن با فیلتر میلی‌پور ۰/۲۲ میکرومتر در دمای ۴ درجه سانتی‌گراد یخچال نگهداری شد.

برای کپسوله کردن فولیکول‌های پره آنترال در ابتدا فولیکول‌های پره آنترال جدا شده از تخمدان به طور جداگانه به قطره ۵ میکرولیتری سدیم آژینیت با غلظت‌های مختلف منتقل شدند و سپس برای ایجاد پیوندهای کلسیم و تشکیل هیدروژل،

کند [۲۳-۲۵].

خواص فیزیکی هیدروژل یکی از مهم‌ترین عواملی است که می‌تواند بر فرآیندهای مانند پرولیفراسیون سلولی (Cell Proliferation) و تولید عوامل رشد و ماتریکس خارج سلولی تأثیر بگذارد. در نتیجه غلظت‌های استفاده شده برای هیدروژل آژینیت باشد که اجازه تبادل مواد غذایی، هورمون‌ها و اتساع فولیکول را بدهد. در همین زمینه برای تعیین بهترین غلظت هیدروژل آژینیت برای کشت فولیکول مطالعات متفاوتی در گونه‌های پستانداران انجام شده است. به عنوان مثال ایکسیو (Xu) در سال ۲۰۰۶ طی مطالعه‌ای فولیکول‌های پره آنترال موش را با غلظت ۰/۲۵ درصد هیدروژل آژینیت کشت داد و نتیجه گرفت این غلظت تأثیر مشبی بر حیات و قدرت بلوغی و باروری تخمک دارد [۲۶]. در مطالعه دیگر ارین (Erin) و همکاران در سال ۲۰۰۷ از غلظت‌های ۰/۰۷ و ۰/۱۵ درصد هیدروژل آژینیت برای کشت فولیکول استفاده کردند. آن‌ها دریافتند که میزان حیات، میزان تشکیل حفره آنترال و درصد تخمک‌های بالغ در غلظت ۰/۰۷ درصد بیشتر از سایر غلظت‌ها است [۲۱]. با توجه به نتایج مختلفی که تاکنون ارایه شده است، در این تحقیق علاوه بر مقایسه کشت دو بعدی و سه بعدی کشت فولیکول‌ها، اثر غلظت‌های مختلف سدیم آژینیت را بر رشد، تکوین و قابلیت بلوغ فولیکول‌های پره آنترال جدا شده از تخمدان موش نابالغ در محیط کشت بررسی شد.

مواد و روش‌ها

تهییه تخمدان‌ها

در این تحقیق از موش‌های نابالغ سوری ماده نژاد NMRI (National Medical Research Institute) با سن ۱۲ تا ۱۴ روز که تخمدان آن‌ها اغلب حاوی فولیکول‌های پره آنترال بود، استفاده شد. موش‌های فوق به روش جابه‌جایی مهره‌های گردنی قطع نخاع شدند. با ایجاد شکاف طولی در ناحیه شکم تخمدان‌های آن‌ها از بدن خارج و در محیط کشت α -MEM

محیط کشت

در هر دو روش از کشت فولیکول‌ها از محیط کشت Insulin- Transferin- ITS α -MEM تکمیل شده با ۱ درصد Gibco (Selenite، آمریکا)، ۱۰۰ واحد بین‌المللی / میلی‌لیتر Penicillin (IU/ml)، ۱۰۰ پنی‌سیلین (Gibco) (Streptomycin)، میکروگرم / میلی‌لیتر استرپتومایسین recombinant Follicle rFSH mIU/ml (آمریکا)، ۱۰۰ Stimulating Hormone (Serono)، سوئیس)، ۵ درصد سرم FBS و ۱۰ نانوگرم / میلی‌لیتر فاکتور رشد اپیدرمی (recombinant Epidermal Growth Factor: rEGF) آلمان استفاده شد. مدت مصرف محیط کشت مزبور در شرایط ۲ تا ۸ درجه سانتی‌گراد یخچال تا یک هفته بود. فولیکول‌ها به مدت ۱۲ روز در داخل انکوباتور مرطوب در دمای ۳۷ درجه سانتی‌گراد و ۵ درصد CO_2 کشت داده شدند و نیمی از محیط کشت یک روز در میان با محیط تازه تعویض شد.

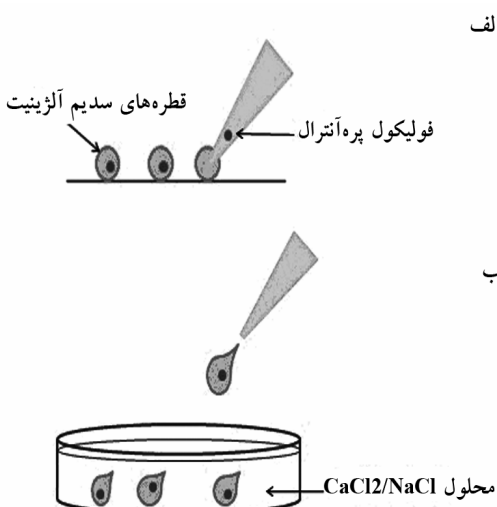
اندازه‌گیری قطر فولیکول‌ها

قطر فولیکول‌ها در کشت دو بعدی تا روز چهارم ارزیابی شد، زیرا از این روز به بعد به علت جدا شدن سلول‌های تکا و گرانولوزا و به وجود آمدن حالت نامنظم در فولیکول‌های تحت کشت، امکان اندازه‌گیری یکسان میسر نبود. اما در کشت سه بعدی به دلیل این‌که فولیکول‌ها، شکل کروی را حفظ می‌کنند بررسی در روزهای دوم، ششم و دوازدهم انجام شد. قطر فولیکول‌ها توسط میکرومتر چشمی از پیش کالیبره شده با بزرگنمایی ۱۰۰ میکروسکوپ و با محاسبه میانگین دو قطر عمود بر هم برحسب میکرومتر تعیین شد.

ارزیابی تغییرات ریخت‌شناختی و ارزیابی میزان بقای فولیکول‌ها

میزان بقای فولیکول‌ها یک روز در میان در حین کشت زیر میکروسکوپ معکوس (Olympus 1X، ژاپن) در همه گروه‌ها

هیدروژل، قطره‌های حاوی فولیکول با استفاده از سر CaCl₂ میکروپیپت به حمام کلسیم که ترکیبی از ۱۴۰ میلی‌مول Merck، آلمان) و ۵۰ میلی‌مول NaCl (Merck، آلمان) بود منتقل شدند و پس از ۲ دقیقه قطره‌های هیدروژل آثرینیت از حمام کلسیمی جمع‌آوری و در محیط کشت شستشو داده شد. سپس فولیکول‌های کپسوله شده توسط میکروسکوپ ارزیابی شدند و فقط فولیکول‌هایی که در مرکز هیدروژل قرار داشتند برای کشت انتخاب شدند. سپس هر فولیکول کپسوله شده به درون قطره‌های ۴۰ میکرولیتری از محیط کشت در زیر روغن در پلیت‌های ۹۶ خانه برای کشت منتقل شدند (شکل ۱).



شکل ۱ روش کپسوله کردن فولیکول‌ها با هیدروژل سدیم آثرینیت؛ (الف) طریقه گذاشتن فولیکول‌های پره آنترال با استفاده از سر سمپلر در قطره‌های سدیم آثرینیت، (ب) رهاسازی قطره‌های سدیم آثرینیت حاوی فولیکول‌ها در محلول کلسیم

کشت دو بعدی فولیکول‌ها

فولیکول‌های پره آنترال بلا فاصله پس از جدا شدن از بافت تخدمان به طور جداگانه در داخل چاهک‌های پلیت‌های ۹۶ خانه در قطره‌های ۴۰ میکرولیتری از محیط کشت در زیر روغن منتقل شدند.

(human Chorionic Gonadotropin) hCG (بین المللی / میلی لیتر) (Organon، آمریکا)، ۱۰ نانوگرم / میلی لیتر EGF (Epidermal Growth Factor) متقل شدند. به طوری که ۱۸ ساعت بعد، تخمک‌های بالغ متافاز دو جمع‌آوری و شمارش شدند. در پایان این مرحله تعداد و درصد تکوین تخمک بررسی و ثبت شد.

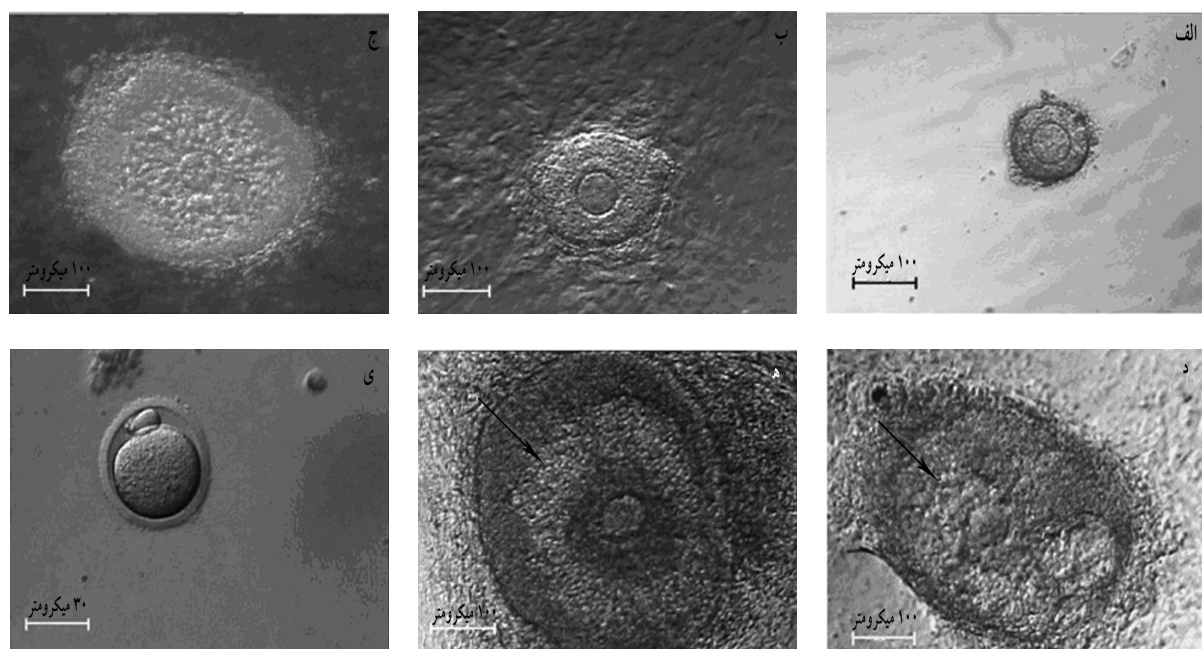
بررسی و محاسبه شد. در طول کشت آزاد شدن زودرس تخمک، تیره رنگ شدن سلول‌های فولیکول و توقف رشد به عنوان فولیکول دُزنه در نظر گرفته شد. همچنین در پایان روز دهم کشت تشکیل حفره آنتروم (Antrum) در فولیکول‌ها ارزیابی و درصد آن نسبت به فولیکول‌های زنده محاسبه و مقایسه شد.

بررسی آماری

تجزیه و تحلیل نتایج به دست آمده با استفاده از نرم‌افزار SPSS نسخه ۱۶ انجام گرفت. تغییرات قطر فولیکول، میزان بقا، دُزنه‌سیون، تشکیل آنتروم و تخمک‌های MII به دست آمده با آزمون آنالیز واریانس یک طرفه (One-Way Analysis of Variance: ANOVA) در بین گروه‌ها سنجیده شد. از نظر آماری در آزمون‌های فوق $P < 0.05$ معنی‌دار محسوب شد.

القای تخمک‌گذاری

در روز دوازدهم در سیستم کشت سه بعدی ابتدا فولیکول‌ها با اضافه کردن ۵ میلی‌گرم Ethylene Glycol (EGTA) (Tetraacetic Acid Merck، آلمان) به محیط کشت به مدت ۵ دقیقه در دمای ۳۷ درجه سانتی‌گراد انکوباتور از هیدروژل خارج شدند. سپس برای القای تخمک‌گذاری فولیکول‌ها در هر دو سیستم کشت دو بعدی و سه بعدی به محیط حاوی ۱/۵ واحد

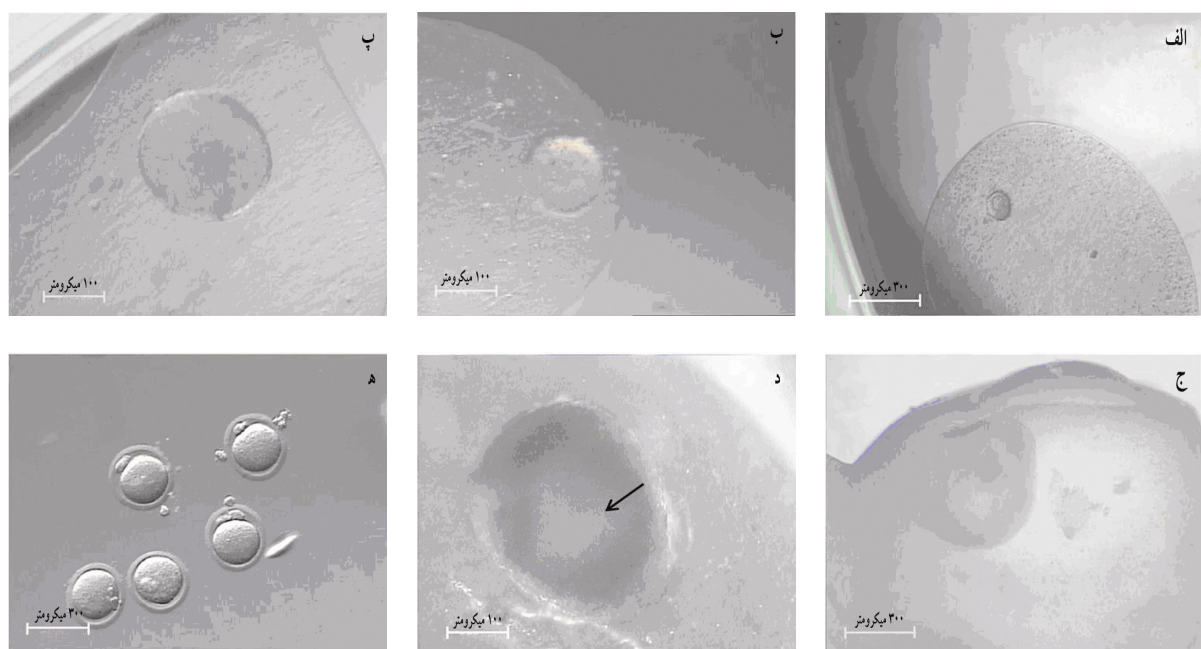


شکل ۲ ساختار بافتی فولیکول‌های پره آنترال جدا شده از تخمدان موش در طول کشت دو بعدی؛ فولیکول پره آنترال با تخمک گرد و مرکزی و دو لایه سلول‌های گرانولوزا با غشای پایه سالم (فلش) در روز اول کشت (الف)، فولیکول‌ها در روز دوم کشت (ب) و در روز چهارم کشت (پ) ساختار کروی خود را از دست می‌دهند و سلول‌های گرانولوزا پس از تکثیر و پاره کردن غشای پایه به سمت اطراف فولیکول گسترش پیدا می‌کنند و سلول‌های تکالایهای در زیر فولیکول ایجاد می‌کنند و فولیکول به کف ظرف می‌چسبد. حفره آنترال (فلش قرمز) در روز هشتم (ج) و دوازدهم (د) دیده می‌شود و پس از ۱۸ ساعت مجاورت با hCG از فولیکول کشت شده تخمک بالغ (ه) رها می‌شود.

نتایج

ساختار بافتی فولیکول‌ها در طول دوره کشت

در روز دوم کشت دو بعدی فولیکول‌ها در اثر رشد و تکثیر سلول‌های تکا و گرانولوزا و با چسبیدن این سلول‌ها به کف ظرف کشت بی‌حرکت شدند (شکل ۲ الف و ب). از روز چهارم به بعد سلول‌های گرانولوزا با پاره کردن غشای پایه، به سمت اطراف فولیکول گسترش پیدا کردند و پهن شدند و به فولیکول شکل نامنظمی دادند (شکل ۲ ج). از روز ششم الی هشتم کشت در اطراف تخمک حفرات آنتروم پدیدار شد و در روز دوازدهم حفره آنترال به حداقل رشد خود رسید که به وضوح در تصویر مشاهده شد.



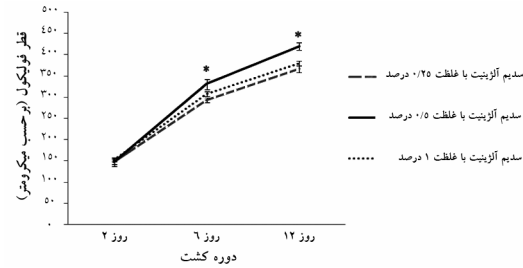
شکل ۳ ریخت‌شناسی فولیکول‌های پره آنترال جدا شده از تخمدان موش در طول کشت سه بعدی؛ فولیکول پره آنترال کپسوله شده با هیدروژل سدیم آلزینیت (الف)، روز دوم (ب) و چهارم کشت (ج) فولیکول در مرحله آنترال در روز آخر کشت (پ) فولیکول ساختار کروی خود را حفظ کرده و با رشد و تکثیر سلول‌های فولیکولاژن سایز فولیکول افزایش می‌یابد. فولیکول در مرحله آنترال (د) در روز آخر کشت و فولیکول آنترال با بزرگنمایی بیشتر (حفره آنترال با فلش قرمز رنگ نشان داده شده است) و تخمک‌های بالغ (ه) پس از ۱۸ ساعت اضافه کردن hCG در تصویر دیده می‌شود.

غلاظت‌های مختلف سدیم آلزینیت در روز دوم و ششم و دوازدهم در شکل ۴ آورده شده است. در طول کشت دو بعدی و سه بعدی قطر فولیکول‌ها افزایش یافت.

میزان رشد فولیکول‌های کشت شده

مقایسه قطر فولیکول‌های پره آنترال کپسوله شده با

درصد سدیم آژینیت عبارت بود از $12/67 \pm 149/53$ ، $149/50 \pm 14/90$ ، $148/54 \pm 153/14$ میکرومتر و در روز ششم کشت، به ترتیب $293 \pm 17/97$ ، $293 \pm 18/72$ ، $330 \pm 18/58$ و $307 \pm 15/58$ در روز دوازدهم به ترتیب $367/18 \pm 19/77$ ، $419/07 \pm 20/51$ و $379 \pm 19/07$ میکرومتر؛ به طوری که افزایش قطر به طور معنی داری در غلظت $0/5$ درصد سدیم آژینیت در روز ششم و دوازدهم کشت بالاتر از سایر غلظت‌ها بود ($P < 0.001$). قطر فولیکول‌های کشت دو بعدی در روز دوم $192/31 \pm 19/8$ میکرومتر بود و این مقدار در روز چهارم به ترتیب $344/31$ میکرومتر بود. قطر فولیکول‌های کشت دو بعدی و سه بعدی با یکدیگر قابل مقایسه نبود.



شکل ۴ تغییرات قطر فولیکول (میکرومتر) در فولیکول‌های کپسوله شده با غلظت‌های مختلف سدیم آژینیت طی کشت؛ * اختلاف معنی دار بین کشت سه بعدی با غلظت $0/5$ درصد سدیم آژینیت و سایر گروه‌های مورد مطالعه وجود داشت ($P < 0.001$).

همچنان که نتایج نشان می‌دهد، قطر متوسط فولیکول‌های جدا شده از تخمدان‌ها در روز دوم کشت در غلظت‌های $0/5$ ، $0/25$ و

جدول ۱ تکوین فولیکول‌های کشت شده به مدت ۱۲ روز در گروه‌های مختلف مطالعه

گروه	غلظت سدیم آژینیت	کشت سه بعدی	کشت سه بعدی	کشت سه بعدی	کشت دو بعدی	کشت دو بعدی	کشت دو بعدی
تعداد فولیکول	تعداد فولیکول	۱ درصد	$0/5$ درصد	$0/25$ درصد	۰ درصد	۰ درصد	۰ درصد
زنده	میانگین درصد $\pm SD$	101 ± 99	95 ± 90	88 ± 80	78 ± 70	62 ± 60	55 ± 50
دُثره	میانگین درصد $\pm SD$	$77/22 \pm 2/7$	$86/86 \pm 2/7$	$84/94 \pm 3/0$	$70/45 \pm 3/8$	$29/54 \pm 2/7$	$26/26 \pm 2/7$
تشکیل آنتروم	میانگین درصد $\pm SD$	$(22/77) \pm 3/5$	$(13/13) \pm 2/8$	$(21/05) \pm 2/0$	$(29/54) \pm 2/7$	$(29/54) \pm 2/7$	$(26/26) \pm 2/7$
GV	میانگین درصد $\pm SD$	$(22/82) \pm 1/2$	$(75/58) \pm 2/1$	$(65/33) \pm 4/1$	$(61/29) \pm 2/7$	$(38/28) \pm 2/0$	$(33/87) \pm 3/20$
تخمک متافاز اول	میانگین درصد $\pm SD$	49 ± 49	65 ± 49	49 ± 38	21 ± 21	21 ± 21	18 ± 18
تخمک متافاز دوم	میانگین درصد $\pm SD$	$(28/20) \pm 3/9$	$(27/9) \pm 4/8$	$(34/26) \pm 4/6$	$(37/09) \pm 4/4$	$(37/09) \pm 4/4$	$(35/89) \pm 5/3$
		22 ± 24	26 ± 24	21 ± 23	18 ± 18	18 ± 18	28 ± 24
		$(35/89) \pm 5/3$	$(27/9) \pm 3/20$	$(32) \pm 2/1$	$(37/09) \pm 4/4$	$(37/09) \pm 4/4$	$(35/89) \pm 4/8$
		28 ± 24	24 ± 24	23 ± 23	18 ± 18	18 ± 18	28 ± 38

- تکرار آزمایش‌ها حداقل ۵ بار در هر گروه

* اختلاف معنی داری بین کشت دو بعدی و سایر گروه‌های مورد مطالعه وجود داشت ($P < 0.001$).

** اختلاف معنی داری بین کشت سه بعدی با غلظت $0/5$ درصد سدیم آژینیت و سایر گروه‌های مورد مطالعه وجود داشت ($P < 0.001$).

Germinal Vesicle Stage . GV

بعدی پس از دوازده روز کشت در جدول ۱ بیان شده است.

درصد زنده ماندن فولیکول‌های کشت شده دو بعدی و سه بعدی در غلظت‌های $0/25$ ، $0/5$ و 1 درصد سدیم آژینیت به ترتیب $77/22$ ، $78/94$ ، $70/45$ ، $86/86$ و $84/94$ درصد بود. اختلاف معنی داری

تکوین فولیکول‌های کشت شده

میزان زنده ماندن، تشکیل آنتروم و بلوغ تخمک‌های حاصل از فولیکول‌های کشت داده شده در سیستم کشت دو بعدی و سه

بقای فولیکول در کشت دو بعدی و سه بعدی

دو بعدی مشاهده می شود. در طول دوره کشت دو بعدی فولیکول های پره آنترال تخدمانی، سلول های گرانولوزا به اطراف تخمک پراکنده می شوند و از تخمک فاصله می گیرند، در نتیجه آثار تحریکی و بازخوردی بین تخمک و سلول گرانولوزا کاهش می یابد. این ارتباطات نقش بهسازی در انتقال پیام های (Signals) دو طرفه (پاراکرین) یا داخلی (اتوکرین) دارد [۲۷]. در مطالعه ای اولا (Ola) و همکارانش در سال ۲۰۰۸ میزان بقای فولیکول های جدا شده از تخدمان موش را ۴۸ درصد و میزان تشکیل حفره آنترال را ۳۸ درصد گزارش کردند [۲۸]. حیدری و همکاران در سال ۲۰۰۸ میزان بقای فولیکول های پره آنترال را در کشت دو بعدی ۶۸ درصد گزارش کردند [۲۹].

اما مطالعات اندکی در مورد خواص مکانیکی هیدرولیک سدیم آژینیت در کشت سه بعدی و اثر آن در تکوین و بلوغ فولیکول ها صورت گرفته است. در مطالعه حاضر میزان زنده ماندن فولیکول کپسوله شده طی دوره کشت حدود ۸۰ درصد گزارش شد و در غلطت های مختلف سدیم آژینیت تفاوت معنی داری وجود نداشت و درصد زنده ماندن فولیکول ها طی دوره کشت بالاتر از نتایج ارایه شده توسط دیگر محققین با به کارگیری سیستم های کشت سه بعدی بوده است. جین (Jin) و همکاران در سال ۲۰۱۰ فولیکول های موش را با استفاده از فیبرین آژینیت به مدت ۱۲ روز کشت دادند و میزان حیات فولیکول ها را ۷۰ درصد ارایه کردند [۲۵]. این نتایج نشان می دهد که کپسوله کردن فولیکول ها با سدیم آژینیت آسیبی به فولیکول وارد نکرده است و دکپسوله کردن فولیکول ها نیز صدماتی را به فولیکول ها وارد نمی کند و احتمالاً کپسوله کردن فولیکول ها باعث حفظ ساختار اتصالات بین سلول ها و غشای پایه سلول های گرانولوزا می شود و از مرگ فولیکول ها جلوگیری می کند.

در تحقیق حاضر ارزیابی قطر فولیکول نشان داد که طی تکوین در محیط آزمایشگاه اندازه و قطر فولیکول ها در همه گروه ها افزایش می یابد اما فولیکول هایی که با غلطت ۰/۵ درصد سدیم آژینیت کپسوله شده بودند افزایش سایز بیشتری نسبت به گروه های دیگر در روزهای ششم و دوازدهم داشتند

در درصد زنده ماندن فولیکول های کشت شده در سیستم کشت دو بعدی نسبت به هر سه غلطت سدیم آژینیت در سیستم کشت سه بعدی وجود داشت ($P < 0.001$)، اما تفاوت معنی داری بین غلطت های مختلف سدیم آژینیت با هم مشاهده نشد.

درصد تشکیل آنتروم در گروه کشت دو بعدی و غلطت های به ترتیب ۰/۰۵ و ۰/۰۴ درصد سدیم آژینیت در سیستم کشت سه بعدی ۶۵/۳۳ درصد ۷۵/۵۸ درصد و ۶۲/۸۲ درصد بود و بالاترین درصد تشکیل حفره آنترال در غلطت ۰/۵ درصد سدیم آژینیت مشاهده شد.

درصد تخمک ها در مرحله متافاز دو در گروه کشت دو بعدی و غلطت های ۰/۰۵ و ۰/۰۴ درصد سدیم آژینیت در سیستم کشت سه بعدی به ترتیب ۴۴/۱۸، ۳۳/۳۳، ۲۹/۰۳ و ۳۵/۸۹ درصد بود. به طوری که از نظر آماری اختلاف معنی داری در میزان تشکیل تخمک های متافاز دوم در غلطت ۰/۵ درصد سدیم آژینیت نسبت به سایر غلطت ها مشاهده شد ($P < 0.001$). درصد تخمک های بالغ در کشت دو بعدی به طور معنی دار پایین تر از بقیه گروه ها بود ($P < 0.001$).

بحث

در مطالعه حاضر برای اولین بار دو روش کشت فولیکول های جدا شده از تخدمان به روش کشت دو بعدی و سه بعدی با غلطت های مختلف سدیم آژینیت با توجه به درصد رشد، بلوغ فولیکول ها با یکدیگر مقایسه شد. نتایج این مطالعه نشان داد که فولیکول های پره آنترال کپسوله شده با سدیم آژینیت به خصوص با غلطت ۰/۵ درصد در سیستم کشت سه بعدی بالاترین درصد میزان بقا و تکوین را در مقایسه با کشت دو بعدی و دیگر غلطت های سدیم آژینیت دارند. درصد پایین میزان بقا و بلوغ فولیکول در کشت دو بعدی را می توان این گونه توجیه کرد که رشد فولیکول ها وابسته به تغییرات ریخت شناختی سلول های سوماتیک و گرانولوزا است و هر نوع اختلال در ریخت شناسی سلول های فولیکولی باعث تأخیر رشد و تکوین فولیکول های پره آنترال می شود؛ مشابه آنچه که در سیستم کشت

غلظت‌های ۳، ۱/۵ و ۰/۷۵ درصد سدیم آژینیت کشت دادند و به این نتیجه رسیدند که این غلظت ۰/۷۵ باعث افزایش میزان بقا و تکوین تخمک می‌شود [۲۱].

اما برخلاف نتایج بررسی حاضر، مین (Min) و همکاران در سال ۲۰۰۶ نشان دادند که کشت فولیکول‌های موش با غلظت ۱/۵ درصد اجازه رشد طبیعی و تکوین فولیکول را می‌دهد. نتایج متفاوت این مطالعه شاید به دلیل کشت فولیکول‌های بزرگ‌تر و کشت کوتاه مدت بوده است [۲۲]. هورنیک (Hornick) در سال ۲۰۱۲ نشان داد که درصد زنده ماندن فولیکول‌ها در فولیکول‌های پره آنترال می‌مون کپسوله شده با غلظت ۲ درصد سدیم آژینیت در مقایسه با آن‌هایی که با غلظت ۰/۵ درصد کپسوله شدند بسیار بالاتر بود [۳۴]. این نتایج متفاوت به دلیل نوع گونه مورد مطالعه است زیرا در موش بافت تخدمان نرم‌تر است ولی در می‌مون و نمونه‌های انسانی تخدمان فیبری‌تر و سفت‌تر است و باید از غلظت بالایی استفاده کرد که مشابه تخدمان در بافت زنده (In vivo) باشد و متناسب با نوع گونه نیز غلظت مورد استفاده برای کشت فولیکول متفاوت است. بنابراین بنا به دلایل ذکر شده، در مطالعه حاضر فولیکول‌های کپسوله شده با غلظت ۰/۵ درصد سدیم آژینیت تکثیر سلول‌های گرانولوزا را افزایش داد و موجب افزایش بیشتر رشد و بلوغ فولیکول‌ها در مقایسه با سایر غلظت‌های سدیم آژینیت و کشت دو بعدی شد.

تشکر و قدردانی

مقاله حاضر بخشی از پایان نامه دکتری تخصصی گروه علوم تشریح است که با حمایت مالی دانشکده علوم پزشکی دانشگاه تربیت مدرس انجام شده است.

(P<0.001). در طول کشت به دلیل رشد تخمک و تکثیر و تمایز سلول‌های گرانولوزا که به صورت شعاعی از مرکز فولیکول شروع می‌شود قطر فولیکول‌ها افزایش می‌یابد. همچنین فولیکول‌های پره آنترال که با غلظت ۰/۵ درصد با سدیم آژینیت کپسوله شده‌اند درصد بالایی از تکوین را از طریق افزایش نسبت تخمک متافاز دوم MII (۴۴ درصد) و میزان تشکیل حفره آنتروم نشان دادند. درباره این نتایج می‌توان با توجه به خواص فیزیکی هیدروژل و تبادل ترکیبات محیط از طریق هیدروژل بحث کرد. خواص مکانیکی هیدروژل به چندین عامل مانند حجم پلیمر و پیوندهای آن وابسته است. هنگامی که غلظت هیدروژل آژینیت کم می‌شود پیوندهای بین پلیمرهای درون هیدروژل آژینیت نیز کاهش می‌یابد [۳۰، ۳۱]. در نتیجه هیدروژل به راحتی تغییر شکل می‌دهد و اجازه افزایش قطر و اتساع فولیکول در حین رشد تخمک، پرولیفراسیون سلول‌های گرانولوزا و تکا و تشکیل حفره آنترال را می‌دهد، مشابه آنچه در تخدمان صورت می‌گیرد؛ اما در غلظت‌های بیشتر هیدروژل به فولیکول فشار مکانیکی زیاد وارد می‌شود و باعث القای مرگ سلولی و کاهش میزان تکثیر و تمایز سلول‌های فولیکولی می‌شود.

علاوه بر این؛ هیدروژل سدیم آژینیت ساختاری مشبک در اطراف فولیکول می‌سازد و از این طریق اجازه انتشار هورمون‌ها و پروتئین‌های اساسی برای تکوین فولیکول را می‌دهد [۳۲، ۳۳]، در نتیجه در غلظت‌های پایین هیدروژل میانگین سایز سوراخ‌های هیدروژل افزایش می‌یابد و از این طریق بر تبادل مواد و ماکرومولکول‌های ضروری برای رشد و بلوغ فولیکول اثر می‌گذارد و سرعت انتقال مواد و عوامل را افزایش می‌دهد. نتایج بررسی حاضر مشابه نتایج ارین در سال ۲۰۰۷ بود؛ آن‌ها طی تحقیقی فولیکول‌های پره آنترال در

منابع

- [1] Ksiazkiewicz LK. Recent achievements in in vitro culture and preservation of ovarian follicles in mammals. Reprod Biol 2006; 6(1): 3-16.
- [2] Buratini J, Price CA. Follicular somatic cell

باقی فولیکول در کشت دو بعدی و سه بعدی

- factors and follicle development. *Reprod Fertil Dev* 2011; 23(1): 32-9.
- [3] Fortune JE. The early stages of follicular development: activation of primordial follicles and growth of preantral follicles. *Anim Reprod Sci* 2003; 78(3-4): 135-63.
- [4] Barboni B, Russo V, Cecconi S, Curini V, Colosimo A, Garofalo ML, Capacchietti G, Di Giacinto O, Mattioli M. In vitro grown sheep preantral follicles yield oocytes with normal nuclear-epigenetic maturation. *PLoS One* 2011; 6(11): e27550.
- [5] Trounson A, Aderiesz C, Jones G. Maturation of human oocytes in vitro and their developmental competence. *Reproduction* 2001; 121(1): 51-75.
- [6] Smitz JE, Cortvriendt RG. The earliest stages of folliculogenesis in vitro. *Reproduction* 2002; 123(2): 185-202.
- [7] Nayudu PL, Fehrenbach A, Kiesel P, Vitt UA, Pancharatna K, Osborn S. Progress toward understanding follicle development in vitro: appearances are not deceiving. *Arch Med Res* 2001; 32(6): 587-94.
- [8] Hovatta O. Mature eggs from primordial follicles in vitro a challenge in the near future. *Duodecim* 2012; 128(8): 889-94.
- [9] Smitz J, Cortvriendt R. The earliest stages of folliculogenesis in vitro. *Reproduction* 2002; 123(2): 185-202.
- [10] Roy SK, Wang C, Mukherjee A, Chakraborty P. In vitro culture of fetal ovaries: a model to study factors regulating early follicular development. *Methods Mol Biol* 2012; 825: 151-71.
- [11] Cortvriendt R, Smitz J, Van Steirteghem AC.
- In-vitro maturation, fertilization and embryo development of immature oocytes from early preantral follicles from prepuberal mice in a simplified culture system. *Hum Reprod* 1996; 11(12): 2656-66.
- [12] Cain L, Chatterjee S, Collins TJ. In vitro folliculogenesis of rat preantral follicles. *Endocrinology* 1995; 136(8): 3369-77.
- [13] Gutierrez CG, Ralph JH, Telfer EE, Wilmut I, Webb R. Growth and antrum formation of bovine preantral follicles in long-term culture in vitro. *Biol Reprod* 2000; 62(5): 1322-8.
- [14] Wang X, Catt S, Pangestu M, Temple-Smith P. Successful in vitro culture of pre-antral follicles derived from vitrified murine ovarian tissue: oocyte maturation, fertilization, and live births. *Reproduction* 2011; 141(2): 183-91.
- [15] Liu J, Van der Elst J, Van den Broecke R, Dhont M. Live offspring by in vitro fertilization of oocytes from cryopreserved primordial mouse follicles after sequential in vivo transplantation and in vitro maturation. *Biol Reprod* 2001; 64(1): 171-8.
- [16] Nayudu PL, Osborn SM. Factors influencing the rate of preantral and antral growth of mouse ovarian follicles in vitro. *J Reprod Fertil* 1992; 95(2): 349-62.
- [17] Pangas SA, Saudye H, Shea LD, Woodruff TK. Novel approach for the three-dimensional culture of granulosa cell-oocyte complexes. *Tissue Eng* 2003; 9(5): 1013-21.
- [18] Kreeger PK, Fernandes NN, Woodruff TK, Shea LD. Regulation of mouse follicle development by follicle-stimulating hormone in a three-dimensional in vitro culture system is dependent on follicle stage and dose. *Biol*

- Reprod 2005; 73(5): 942-50.
- [19] Xu M, West E, Shea LD, Woodruff TK. Identification of a stage-specific permissive in vitro culture environment for follicle growth and oocyte development. Biol Reprod 2006; 75(6): 916-23.
- [20] Xu M, Banc A, Woodruff TK, Shea LD. Secondary follicle growth and oocyte maturation by culture in alginate hydrogel following cryopreservation of the ovary or individual follicles. Biotechnol Bioeng 2009; 103(2): 378-86.
- [21] West ER, Xu M, Woodruff TK, Shea LD. Physical properties of alginate hydrogels and their effects on in vitro follicle development. Biomaterials 2007; 28(30): 4439-48.
- [22] Kreeger PK, Deck JW, Woodruff TK, Shea LD. The in vitro regulation of ovarian follicle development using alginate-extracellular matrix gels. Biomaterials 2006; 27(5): 714-23.
- [23] Xu M, Kreeger PK, Shea LD, Woodruff TK. Tissue-engineered follicles produce live, fertile offspring. Tissue Eng 2006; 12(10): 2739-46.
- [24] Gomes JE, Correia SC, Gouveia-Oliveira A, Cidadão AJ, Plancha CE. Three-dimensional environments preserve extracellular matrix compartments of ovarian follicles and increase FSH-dependent growth. Mol Reprod Dev 1999; 54(2): 163-72.
- [25] Jin SY, Lei L, Shikanov A, Shea LD, Woodruff TK. A novel two-step strategy for in vitro culture of early-stage ovarian follicles in the mouse. Fertil Steril 2010; 93(8): 2633-9.
- [26] Xu M, West E, Shea LD, Woodruff TK. Identification of a stage-specific permissive in vitro culture environment for follicle growth and oocyte development. Biol Reprod 2006; 75(6): 916-23.
- [27] West ER, Shea LD, Woodruff TK. Engineering the follicle microenvironment. Semin Reprod Med 2007; 25(4): 287-99.
- [28] Ola SI, Ai JS, Liu JH, Wang Q, Wang ZB, Chen DY, Sun QY. Effects of gonadotrophins, growth hormone, and activin A on enzymatically isolated follicle growth, oocyte chromatin organization, and steroid secretion. Mol Reprod Dev 2008; 75(1): 89-96.
- [29] Haidari K, Salehnia M, Rezazadeh Valojerdi M. The effect of leukemia inhibitory factor and coculture on the in vitro maturation and ultrastructure of vitrified and nonvitrified isolated mouse preantral follicles. Fertil Steril 2008; 90(6): 2389-97.
- [30] Bryant SJ, Chowdhury TT, Lee DA, Bader DL, Anseth KS. Crosslinking density influences chondrocyte metabolism in dynamically loaded photocrosslinked poly (ethylene glycol) hydrogels. Ann Biomed Eng 2004; 32(3): 407-17.
- [31] Bryant SJ, Anseth KS. Hydrogel properties influence ECM production by chondrocytes photoencapsulated in poly (ethylene glycol) hydrogels. J Biomed Mater Res 2002; 59(1): 63-72.
- [32] Kong HJ, Smith MK, Mooney DJ. Designing alginate hydrogels to maintain viability of immobilized cells. Biomaterials 2003; 24(22): 4023-9.
- [33] Swartz MA, Tschumperlin DJ, Kamm RD, Drazen JM. Mechanical stress is communicated between different cell types to elicit matrix

بقای فولیکول در کشت دو بعدی و سه بعدی

remodeling. Proc Natl Acad Sci U S A 2001; 98(11): 6180-5.
[34] Hornick JE, Duncan FE, Shea LD, Woodruff TK.

Isolated primate primordial follicles require a rigid physical environment to survive and grow in vitro. Hum Reprod 2012; 27(6): 1801-10.